

解边界值问题的边界元素法

孙 棱

(上海计算技术研究所)

摘要

许多描述物理问题的偏微分方程可以化归边界积分方程，然后用边界元方法求解，本文讨论两类边界待定问题——弹性接触问题和自由边界问题的边界元解法。

§ 1. 弹性接触问题

弹性接触问题是一个接触边界待定的非线性问题，常用有限元增量法求出近似解〔1〕、〔2〕，但运算量相当大。本文从弹性力学基本方程出发导出接触问题的边界积分方程，再用边界元得到一个求解有摩擦接触问题的快速算法，为简单起见，我们以平面问题为例，并假定接触面充分光滑而变形为小变形。

设接触系统由 Ω_1, Ω_2 组成。 Γ_1 为可能接触边界（图 1），在一定接触状态下应成立如下的方程〔1〕：

$$\frac{\partial \sigma_{ij}^{(k)}}{\partial n_j} + b_i^{(k)} = 0, \quad \text{在 } \Omega_K \text{ 中}, \quad i, j, k = 1, 2 \quad (1)$$

$$P_i^{(k)} = \sigma_{ij}^{(k)} n_j^{(k)} = P_i^{(k)}, \quad \Gamma_2^{(k)} \text{ 上}, \quad i, j, k = 1, 2 \quad (2)$$

$$U_i^{(k)} = \bar{U}_i^{(k)}, \quad \Gamma_1^{(k)} \text{ 上}, \quad i, k = 1, 2 \quad (3)$$

$$U_i^{(1)} = U_i^{(2)} = U_i \quad \left. \begin{array}{l} \\ \end{array} \right\} \text{接触段 } \Gamma_e \quad (4)$$

$$\left. \begin{array}{l} P_i^{(1)} = -P_i^{(2)} = P_i \\ U_n^{(1)} = U_n^{(2)} \end{array} \right\} \text{滑动接触段上} \quad (5)$$

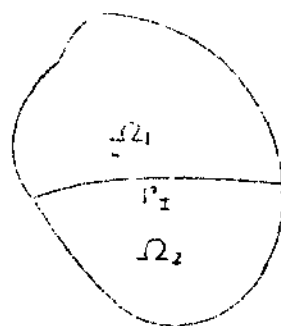


图 1.

$\theta > 0$ 为摩擦系数， t, n 表示切向、法向分量。 Ω_K 的实际边界为：

$$\Gamma^{(k)} = \Gamma_1^{(k)} + \Gamma_2^{(k)} + \Gamma_e^{(k)} + \Gamma_F$$

其中 $\Gamma_2^{(k)}$ 为 Γ_2 中分离段属 Ω_K 的部分，故 $\Gamma_2 = \Gamma_e + \Gamma_e^{(1)} + \Gamma_e^{(2)}$ 。

设 $\delta_s^{(k)}$ 为沿 s 方向作用于 Γ_2 点的单位荷载， $\sigma_{ij}^{(k)}$ 为取

$b_s^{(k)} = \delta_s^2$, $k=1,2$ 时方程(1)的解; 又设 P_{SL}^* , u_{SL}^* 为在 δ_s^2 作用下弹性体在 I 方向的引力和位移(4), 则平面弹性问题

$$u_{SL}^* = \frac{1}{8\pi\mu(1-\nu)} [(3-4\nu)ln\frac{1}{r} \cdot \delta_{SL} + \gamma_s Y_1]$$

$$P_{SL}^* = -\frac{1}{4\pi(1-\nu)r} \left[\frac{2\nu}{3} ((1-2\nu)\delta_{SL} + 2Y_s Y_L) + (1-2\nu)(Y_s n_L - Y_L n_s) \right]$$

μ 为 Lamé 常数, ν 为泊松比, r 为 I 至弹性体其余质点的距离。

以 P_{SL}^* , u_{SL}^* 为权函数, 对(1)~(3)用加权剩余法得

$$\int_{\Omega^{(k)}} \left(\frac{\partial \sigma_{ij}}{\partial x_j} + b_i^{(k)} \right) u_{SL}^{*(k)} d\Omega = \int_{\Gamma_1^{(k)} \cup \Gamma_2^{(k)}} (P_i^{(k)} - \tilde{P}_i^{(k)}) u_{SL}^{*(k)} d\Gamma + \int_{\Gamma_1^{(k)}} (\tilde{u}_i^{(k)} - u_i^{(k)}) P_{SL}^{*(k)} d\Gamma$$

利用应力应变关系, 分部分分后可化为

$$\frac{1}{2} u_s^{(k)} = - \int_{\Gamma_1^{(k)}} \tilde{u}_i^{(k)} P_{SL}^{*(k)} d\Gamma + \int_{\Gamma_2^{(k)}} \tilde{P}_i^{(k)} u_{SL}^{*(k)} d\Gamma + \int_{\Omega^{(k)}} b_i^{(k)} u_{SL}^{*(k)} d\Gamma \quad k=1,2 \quad (6)$$

表示 S 点在 S 方向位移, 而

$$\tilde{P}_i^{(k)} = \begin{cases} \tilde{P}_i^{(k)} & \text{在 } \Gamma_2^{(k)} \\ 0 & \text{在 } \Gamma_e^{(k)} \end{cases}, \quad \tilde{u}_i^{(k)} = \begin{cases} \tilde{u}_i^{(k)} & \text{在 } \Gamma_1^{(k)} \\ u_i^{(k)} & \text{在 } \Gamma_e^{(k)} \end{cases}$$

$$\tilde{P}_i^{(1)} = -\tilde{P}_i^{(2)} = P_i, \quad \text{在 } \Gamma_e.$$

有摩擦时, 在 Γ_e 滑动接触段还应满足(5), 方程(6)、(5)组成弹性接触问题的边值积分方程。

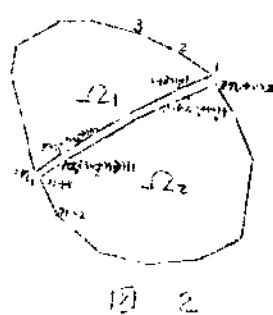
现在讨论解法, 将 $\Gamma^{(k)}$ 划分若干段, 每段用一直线逼近之, 直线端点为结点, 在 Γ_1 上的结点必须使上属 $\Gamma^{(1)}, \Gamma^{(2)}$ 上的点构成一一对应的可能接触点对(图 2), 结点编号按逆时针方向, 依次为 $\Gamma^{(1)}-\Gamma_1$ 段、 $\Gamma^{(2)}-\Gamma_1$ 段、 Γ_1 上 Ω_1 一侧、 Γ_2 上 Ω_2 一侧。设直线段 L_j 端点为 $(x_1^j, x_2^j), (x_1^{j+1}, x_2^{j+1})$ 则 L_j 可表示为 $(-1 \leq \xi \leq 1)$:

$$x_i = \phi_1(\xi)x_i^j + \phi_2(\xi)x_i^{j+1} \quad i=1,2$$

$$\phi_1 = (1-\xi)/2, \quad \phi_2 = (1+\xi)/2$$

在 L_j 上位移和引力插值如下:

$$u = \begin{pmatrix} u_1 \\ u_2 \end{pmatrix} = \begin{pmatrix} \phi_1 & \phi_2 & 0 & 0 \\ 0 & 0 & \phi_1 & \phi_2 \end{pmatrix} \begin{pmatrix} u_1^j \\ u_1^{j+1} \\ u_2^j \\ u_2^{j+1} \end{pmatrix} = \Phi^T u^j$$



$$F = \begin{pmatrix} P_1 \\ P_2 \end{pmatrix} = \begin{bmatrix} 1, \Phi_2, 0, 0 \\ 0, 0, 0, \Phi_1 \end{bmatrix} \begin{pmatrix} P_{1,j+1} \\ P_{2,j+1} \\ P_{1,j+2} \\ P_{2,j+2} \end{pmatrix} = \Phi^T P$$

其中 $U_i^j, P_i^j, i=1, 2$ 为 J 点的位移和引力分量，代入(6)式得

$$\frac{1}{2} U^{*(k)} + \sum_{j=1}^{m_{K+1}} \left\{ \int_{\Gamma_j} P^{*(k)} \Phi^T d\Gamma \right\} U^{*(k)} = \sum_{j=1}^{m_{K+1}} \left\{ \int_{\Gamma_j} U^{*(k)} \Phi^T d\Gamma \right\} P^{*(k)}$$

$$+ \sum_{n=1}^M \int_{\Omega_j} U^{*(k)} b^{(n)} d\Omega \quad k=1, 2 \quad (7)$$

$$P^{*(k)} = \begin{bmatrix} P_{11}^{*(k)}, P_{12}^{*(k)} \\ P_{21}^{*(k)}, P_{22}^{*(k)} \end{bmatrix}, \quad U^{*(k)} = \begin{bmatrix} U_{11}^{*(k)}, U_{12}^{*(k)} \\ U_{21}^{*(k)}, U_{22}^{*(k)} \end{bmatrix}$$

注意到式(2)~(4)，方程(7)只有 $2(n+2m)$ 未知元，与方程个数相同，故只须算出积分，即可求解(7)得出边界结点的未知位移或引力。对 Γ_2 上结点，我们可以利用坐标变换将变量转换到局部坐标系 (n, t) 中。

设 $X^{(k)}$ 为 $\Gamma_1^{(k)} + \Gamma_2^{(k)}$ 上结点未知元组 $U^{(k)}, U^{(2)}$ P 为 Γ_2 分离段结点未知元组； $U^{*(k)}, P^{*(k)}$ 为 Γ_2 无滑动接触点的未知元组； $U_n^{*(k)}, n=1, 2$ P_n^W 为 Γ_2 滑动接触点的法向分量未知元组； $U_t^{W(k)}, k=1, 2$ P_t^W 为滑动接触点的切向分量未知元组，和下列边界条件和协调条件：

对分离点 $P=0$

对非滑动接触点 $U^{(1)}=U^{(2)}$

对滑动接触点 $U_n^{W(k)}=U_n^{W(k)}, P_n^W=0$

可以将坐标变换后的方程(7)表示成一个稀疏线性方程组，若用部分主元素法解之，不会产生局部填充。

按增量法将荷载分为 P 级，设已知某一级的解，在求下一级增量解时，需进行若干次迭代。每次迭代可根据上次接触状态在方程组右端追加荷载增量：

$$\Delta P = \{0, 0, 0, 0, 0, 0, 0, 0, U^{(2)} - U^{(1)}, U_n^{(1)} - U_n^{(2)}, -\text{sign}(P_n + \Delta P_n) \theta(P_n + \Delta P_n) - P_t, -P\}^T$$

解得增量后，修改接触状态⁽¹⁾，再进入下次迭代。这样，若每级荷载平均迭代1次，我们只须形成和求解 $2(n+3m)$ 阶稀疏线性方程组一次，再解 P 次，并分解 $2m \times 6m$ 矩阵 $P \times 1$ 次，因而运算量很少，此外因边界元求得的边界应力较精确，有助于迭代收敛。

§ 2. 自由边界问题

我们考察模型问题 设在两个水库间有座土坝(图3)，坝基不透水，边界CD上存在渗流，我们要确定自由面FD及势函数 u 使：

$$\Delta u = 0$$

$$\frac{\partial u}{\partial n} \Big|_{AB} = 0$$

$$u \Big|_{AF} = H, \quad u \Big|_{BC} = h, \quad u \Big|_{CD} = y \quad (8)$$

$$u \Big|_{FD} = y, \quad \frac{\partial u}{\partial n} \Big|_{FD} = 0$$

FD应为一单调下降的光滑曲线。

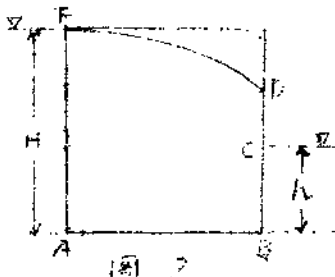


图 3

用有限元或差分法求解上述问题不仅运算量大且要修改区域网格。如用边界元求解可使方程个数大为降低，且无修改网格之麻烦。

首先从方程(8)利用Green公式及Laplace方程的基本解 u^* 容易导得边界积分方程

$$C_i u_i + \int_{\Gamma} u_j q^* d\Gamma = \int_{\Gamma} q_j u^* d\Gamma \quad (9)$$

这里 $q = \frac{\partial u}{\partial n}$, $q^* = \frac{\partial u^*}{\partial n}$, Γ 为 Ω 边界, $C_i = \frac{1}{2}(1 + \frac{\theta_i}{\pi})$, θ_i 为 x_i 处两侧边界法向的夹角, 当 x_i 为光顺点时 $C_i = \frac{1}{2}$ 。此外 $u_i = u(x_i)$ 对平面问题

$$u^* = \frac{1}{2\pi} \ln(\frac{1}{r}) \quad r = |x - x_i|$$

将 Γ 用 N 个分点划分若干段再以折线逼近之，在每一直线段 Γ_j 上可构造线性插值函数

$$u(\xi) = u_1 \phi_1 + u_2 \phi_2 \quad q(\xi) = q_1 \phi_1 + q_2 \phi_2$$

这里 $\phi_1 = (1 - \xi)/2$, $\phi_2 = (1 + \xi)/2$, 代入(9)式得出

$$C_i u_i + \sum_{j=1}^N \left(\int_{\Gamma_j} [\phi_1 \phi_2] q^* d\Gamma \begin{Bmatrix} u_1 \\ u_2 \end{Bmatrix} \right) = \sum_{j=1}^N \left(\int_{\Gamma_j} [\phi_1 \phi_2] u^* d\Gamma \begin{Bmatrix} q_1 \\ q_2 \end{Bmatrix} \right) \quad (10)$$

积分 $\int_{\Gamma} \phi_k q^* d\Gamma$ 和 $\int_{\Gamma} \phi_k u^* d\Gamma$ 可用数值积分公式算出，当 $i \in \Gamma$ 时积分是奇异的，必须直接积分以避免过大的误差。于是从(10)我们可导出一个线性方程组

$$\sum_{j=1}^N H_{ij} u_j = \sum_{j=1}^N G_{ij} q_j, \quad i=1, 2, \dots, N$$

边界条件给定时，可以由上述方程组求得边界结点上未知的 u 及 q 。

于是解自由边界问题的边界元迭代过程为：

- (1) 选取试样曲线 Γ_1 ： $y = \eta(x)$ 为自由面的初始逼近。
- (2) 在自由面 Γ_1 上取 $x_1^{(1)}, \dots, x_n^{(1)}$ ，然后结合其余各段边界的已知条件用边界元素法求出 Γ_1 上各结点的 u 值。
- (3) 若对 Γ_1 的全部结点， u 值与该点 y 坐标之差在给定误差范围内，则 Γ_1 即为所求自由面，否则取新的自由面逼近曲线 Γ_2 使其各结点纵坐标 $y = u$ ，回到(2)重复迭代。

出渗点 D 作为第一类边界点参与迭代，在新的一次迭代开始前，可以由 Γ_1 上邻近 D 的结点纵坐标值经二次插值推出 D 点的位置，为了考虑 D 点的奇异性(3)，我们所用的插值公式为

$$y = \sum_{k=1}^3 \left[(y_k - \frac{x_k - x_0}{x_1 - x_0} y_1 - x_k (x_0 - x_1)) \frac{\frac{x_0 - x_1}{x_0 - x_k}}{x_1 - x_k} \right]$$

这里 x_0 为 D 点横坐标， (x_i, y_i) $i=1, 2, 3$ 为自由面上靠近 D 的三个结点坐标。显然，这里除了 D 点下方的边界结点需作一定调整外，一般不必修改结点坐标。

对图 3 中的问题，我们就 $H=10$, $h=3$, $AB=10$ 及 $H=1$, $h=1/3$, $AB=2/3$ 两种情况作了计算，边界上共配置 26 个结点，其中自由面上只有 6 个结点，初始自由面取得较粗糙，使之接近水平位置，实际计算表明迭代过程相当稳定，没有振荡现象，收敛速度相当快，仅迭代 15 次即达相当好的精度，初始面取得好时，一般只须迭代几次。自由面收敛情况分别示于图 4 及图 5 中。

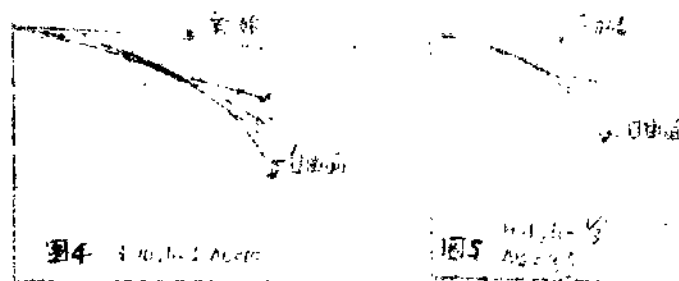


图4 问题4的几何图

图5 问题5的几何图

在 $H=10$ 的问题中，出渗点趋于 $y_c = 4.04\%$ ，而在图5的问题中，出渗点趋于 $y_0 = 0.539$ 。

§ 3。讨论

边界元素法是求解边界待定问题的一个自然而有效的方法，具有一些明显的优点。在弹性接触问题中，由于变形小，网格不变，故线性方程组仅须形成一次，迭代时只处理一个更小的矩阵。而在自由边界问题中，自由面位置变动大，每次迭代都要形成一个线性方程组，但因边界元计算精度高，结点少，收敛快，总运算量仍然比较少。利用本文的方法对实际工程问题的计算分析将另文报导。

文 献

- (1) 崔俊芝等“关于弹性接触问题的分析方法”，见“有限单元法及其应用”（中国科学院计算中心编） 1975, 167—182页
- (2) 郭仲衡“二维弹性接触问题有限元分析的混合标架——广义子结构法”教育部高校计算结构力学会议文集 1978年
- (3) J. Aitchison “Numerical treatment of a singularity in a free boundary problem” Proc. R. Soc. Lond. A 330, 573—580(1972)
- (4) C. A. Brebbia “The boundary element method for engineers” 1978